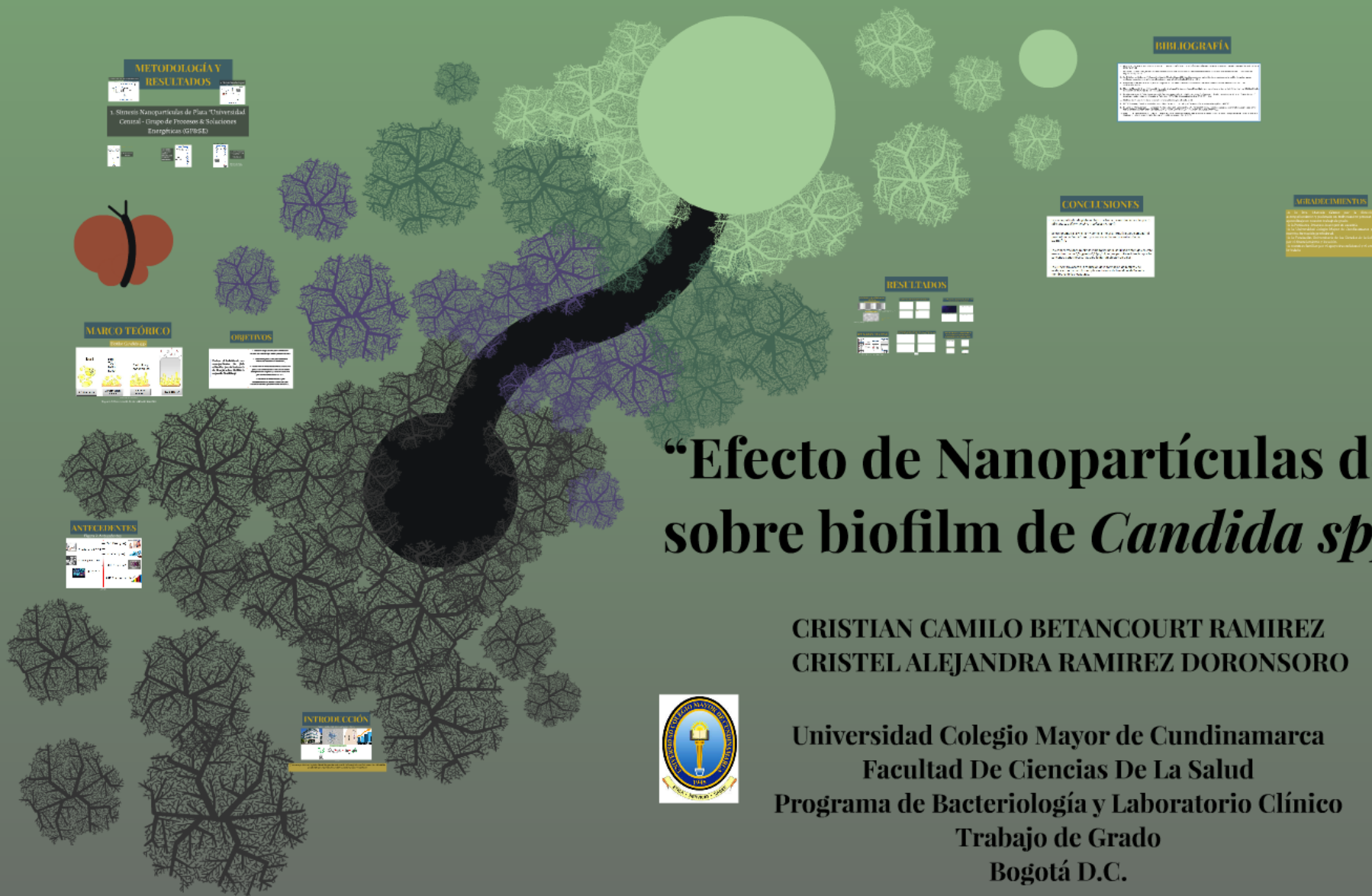


“Efecto de Nanopartículas de plata sobre biofilm de *Candida spp.*”

CRISTIAN CAMILO BETANCOURT RAMIREZ
CRISTEL ALEJANDRA RAMIREZ DORONSORO



Universidad Colegio Mayor de Cundinamarca
Facultad De Ciencias De La Salud
Programa de Bacteriología y Laboratorio Clínico
Trabajo de Grado
Bogotá D.C.
2019



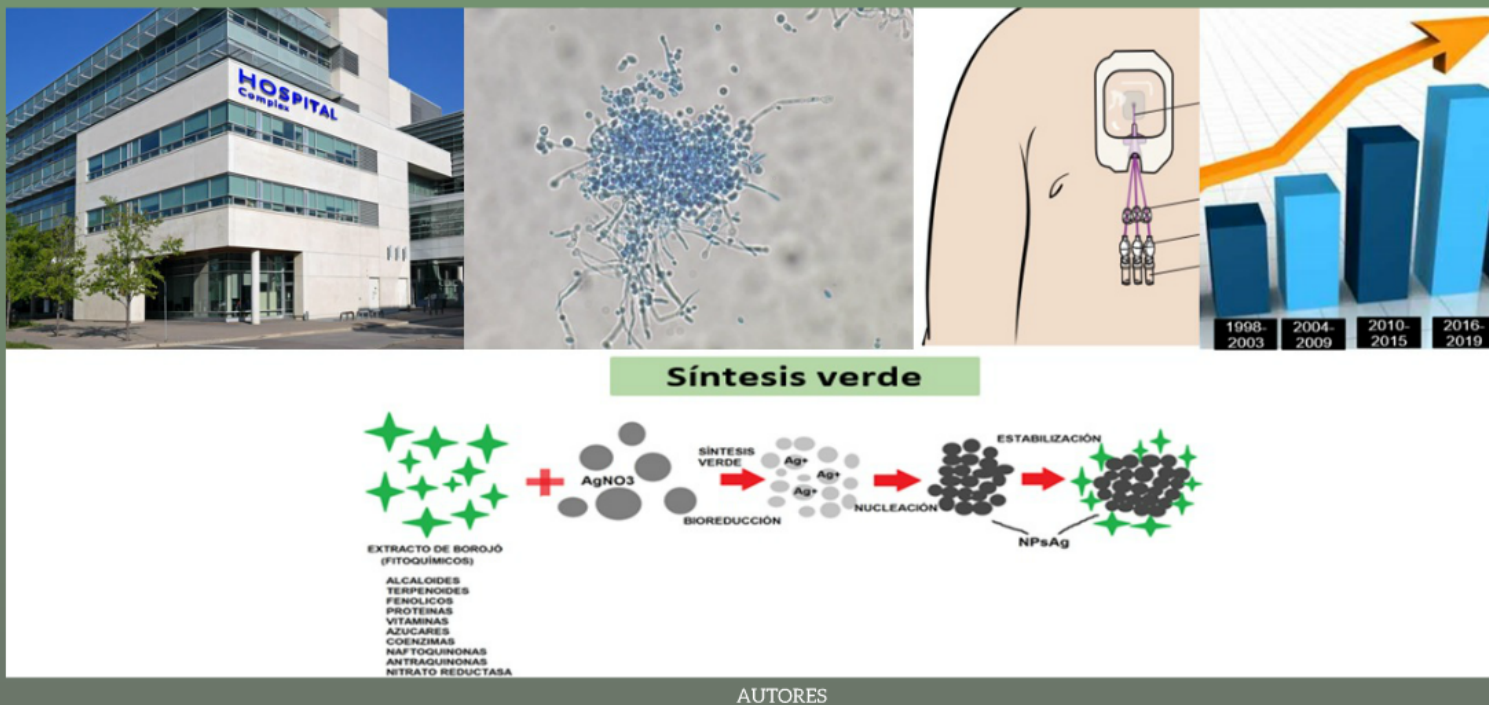
CRISTIAN CAMILO BETANCOURT RAMIREZ
CRISTEL ALEJANDRA RAMIREZ DORONSORO



Universidad Colegio Mayor de Cundinamarca
Facultad De Ciencias De La Salud
Programa de Bacteriología y Laboratorio Clínico
Trabajo de Grado
Bogotá D.C.
2019

INTRODUCCIÓN

Figura 1: *Candida spp* en infecciones fungicas y NPsAg

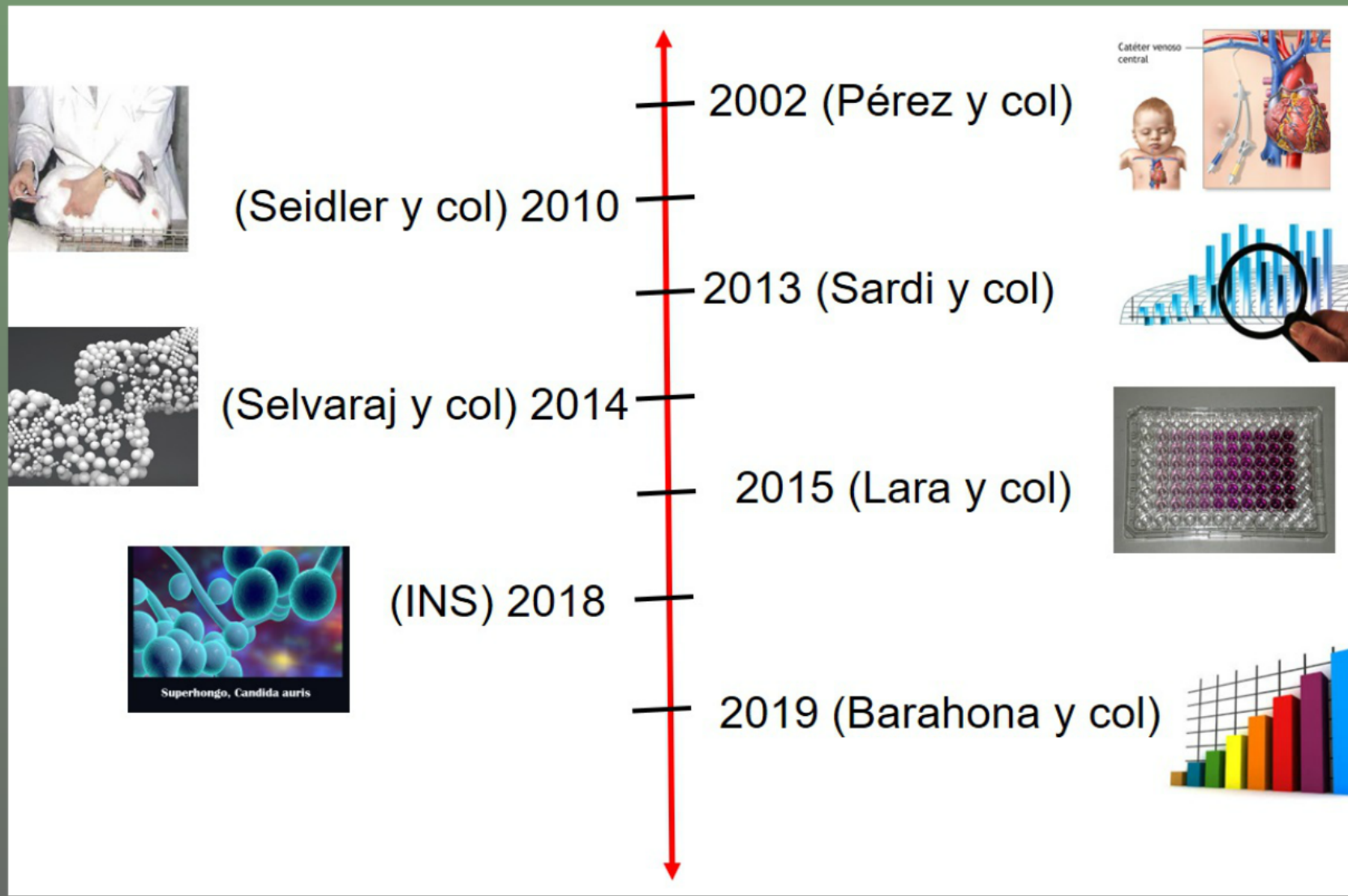


¿Las nanopartículas de plata obtenidas por síntesis verde de borojó afectan la formación del biofilm producido por especies de *Candida sp* sobre placas de acrílico?



ANTECEDENTES

Figura 2: Antecedentes



MARCO TEÓRICO

Biofilm *Candida spp*



<http://publish.ucc.ie/boolean/2014/00/konstantinidou/10/en>

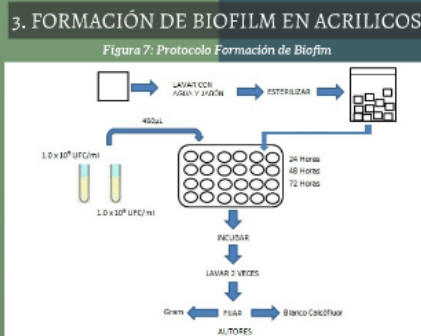
Figura 3: Proceso de desarrollo de Biofilm

OBJETIVOS

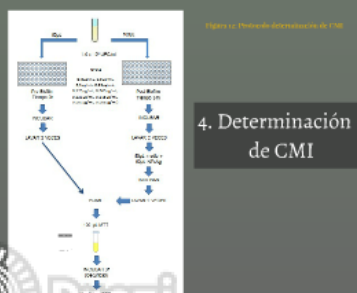
Evaluar el tratamiento con nanopartículas de plata obtenidas por síntesis verde de Borojó sobre biofilm de cepas de *Candida sp.*

- Generar un protocolo para creación de biofilm de *Candida sp.* sobre placas de acrílico.
- Desarrollar protocolos para evaluar la formación e inhibición de biofilm.
- Determinar el efecto inhibitorio sobre biofilm y la concentración mínima inhibitoria de las nanopartículas de plata por medio de lectura por absorbancia utilizando MTT.
- Visualizar el efecto causado por nanopartículas de plata sobre biofilm por medio de microscopía electrónica de barrido.

METODOLOGÍA Y RESULTADOS

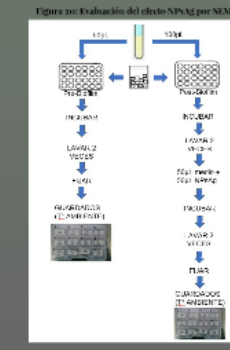
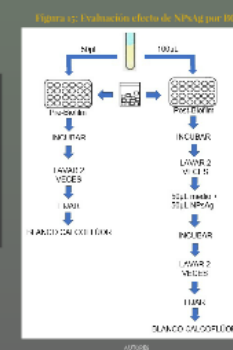


1. Síntesis Nanopartículas de Plata “Universidad Central - Grupo de Procesos & Soluciones Energéticas (GP&SE)



4. Determinación de CMI

5. EFECTO DE NPsAg SOBRE BIOFILM EVALUADO CON BLANCO DE CALCOFLÚOR



6. EFECTO DE NPsAg SOBRE BIOFILM EVALUADO CON MICROSCOPIA ELECTRÓNICA DE BARRIDO SEM

Universidad Nacional-
Laboratorio de Geología



SÍNTESIS Y CARACTERIZACIÓN DE NPsAg

Distribución del número de NPsAg de acuerdo al tamaño

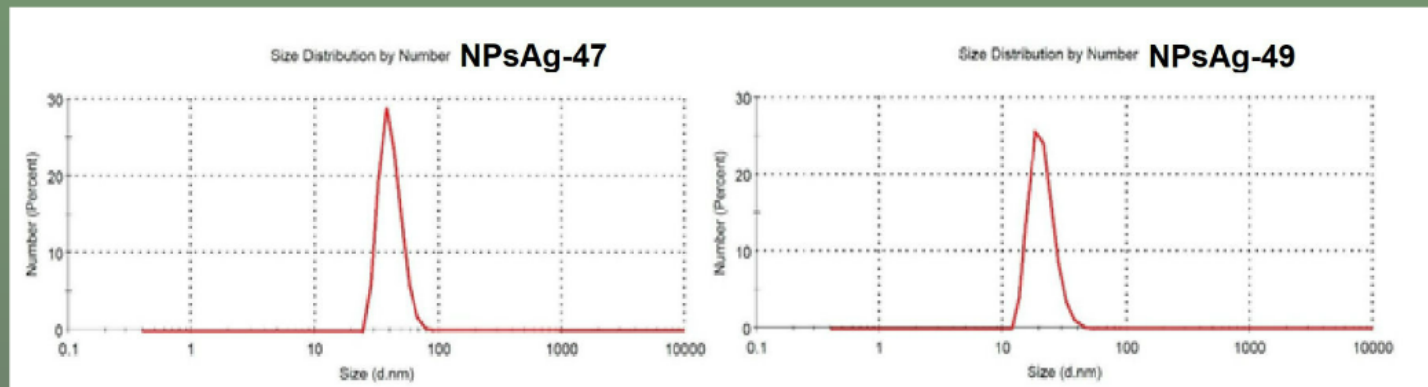
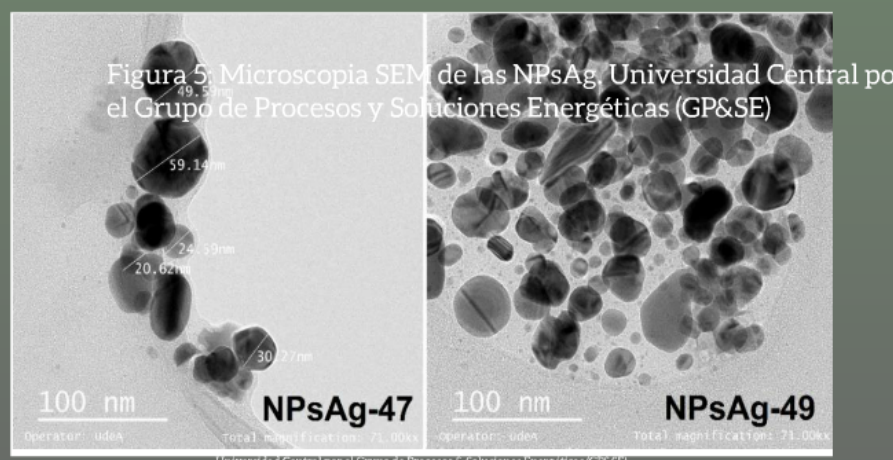


Figura 4: Distribución del número de NPsAg de acuerdo al tamaño
Central por el Grupo de Procesos & Soluciones Energéticas (GP&SE)

Microscopia SEM de las NPsAg.

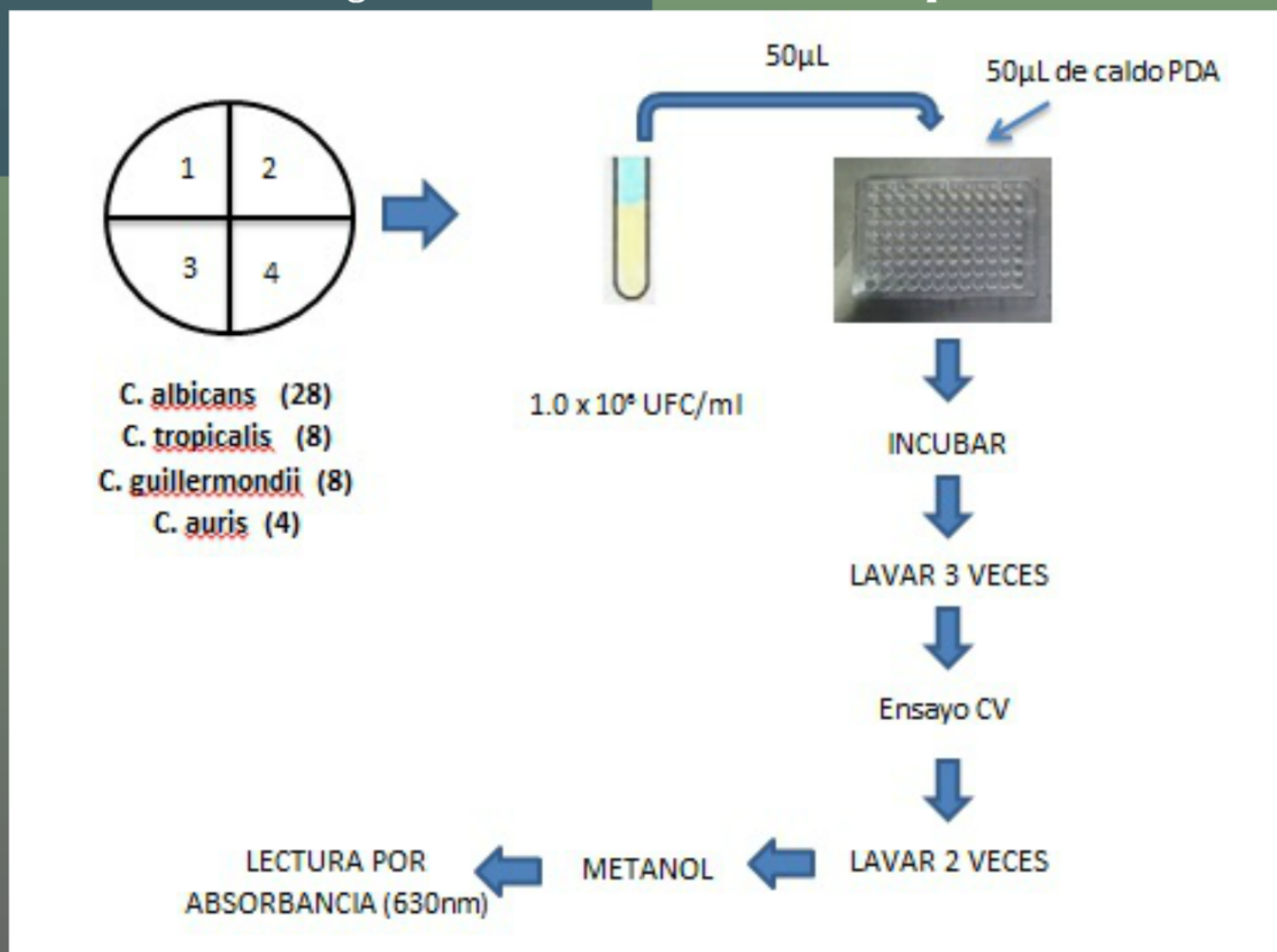


Vazquez y Col, tamaño ideal
de 3-60 nm

Figura 5: Microscopia SEM de las NPsAg. Universidad Central por
el Grupo de Procesos y Soluciones Energéticas (GP&SE)

2. Selección de cepas.

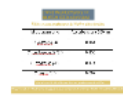
Figura 6 : Protocolo selección de cepas



SELECCIÓN DE CEPAS

Lectura 360 NM				
Levadura	Ensayo 1	Ensayo 2	Ensayo 3	Promedio
C. albicans 1	0.091	-0.024		
C. albicans 2	0.151	0.146	0.148	
C. albicans 3	0.162	0.135	0.149	
C. albicans 4	0.203	0.136	0.169	
C. albicans 5	0.180	0.128	0.154	
C. albicans 6	0.174	0.141	0.157	
C. albicans 7	0.177	0.135	0.156	
C. albicans 8	0.096	0.135	0.115	
C. albicans 9	0.020	-0.013		
C. albicans 10	-0.004	-0.019		
C. albicans 11	0.019	-0.009		
C. albicans 12	0.028	0.002	0.015	
C. albicans 13	0.004	-0.040		
C. albicans 14	0.084	0.150	0.107	
C. albicans 15	0.175	0.147	0.161	
C. albicans 16	0.180	0.150	0.166	
C. albicans 17	0.185	0.148	0.166	
C. albicans 18	0.167	0.159	0.163	

<i>C. albicans</i> 19	0.187	0.150	0.167
<i>C. albicans</i> 20	0.159	0.171	0.165
<i>C. albicans</i> 21	0.151	0.148	0.148
<i>C. albicans</i> 22	0.117	0.055	0.086
<i>C. albicans</i> 23	0.162	0.141	0.151
<i>C. albicans</i> 24	0.156	0.143	0.149
<i>C. albicans</i> 25	-0.038	-0.058	
<i>C. albicans</i> 26	0.125	0.124	0.124
<i>C. albicans</i> 27	0.144	0.132	0.138
<i>C. albicans</i> 28	0.158	0.144	0.151



<i>C. guillemondi</i> i 31	0.164	0.153	0.158
<i>C. guillemondi</i> 32	0.158	0.144	0.151
<i>C. guillemondi</i> 33	0.176	0.140	0.157
<i>C. guillemondi</i> 34	0.164	0.137	0.150
<i>C. guillemondi</i> 35	0.136	0.147	0.141
<i>C. guillemondi</i> 36	0.158	0.149	0.153
<i>C. guillemondi</i> 37	0.080	0.134	0.107
<i>C. guillemondi</i> 38	0.149	0.163	0.156

<i>C. auris</i> 51	0.062	0.073	0,067
<i>C. auris</i> 52	0.031	0.031	0,031
<i>C. auris</i> 53	0.016	0.013	0,014
<i>C. auris</i> 54	0.030	0.036	0,033
<i>C. tropicalis</i> 41	0.155	0.149	0.152
<i>C. tropicalis</i> 42	0.149	0.154	0.151
<i>C. tropicalis</i> 43	0.153	0.152	0.152
<i>C. tropicalis</i> 44	0.140	0.155	0.147
<i>C. tropicalis</i> 45	0.158	0.149	0.153
<i>C. tropicalis</i> 46	0.214	0.135	0.174
<i>C. tropicalis</i> 47	0.162	0.150	0.156
<i>C. tropicalis</i> 48	-0.072	0.161	

Tabla 1: Absorbancias obtenidas por 48 cepas

CEPAS PRODUCTORAS DE BIOFILM SELECCIONADAS

Tabla 2: Cepas productores de Biofilm seleccionadas.

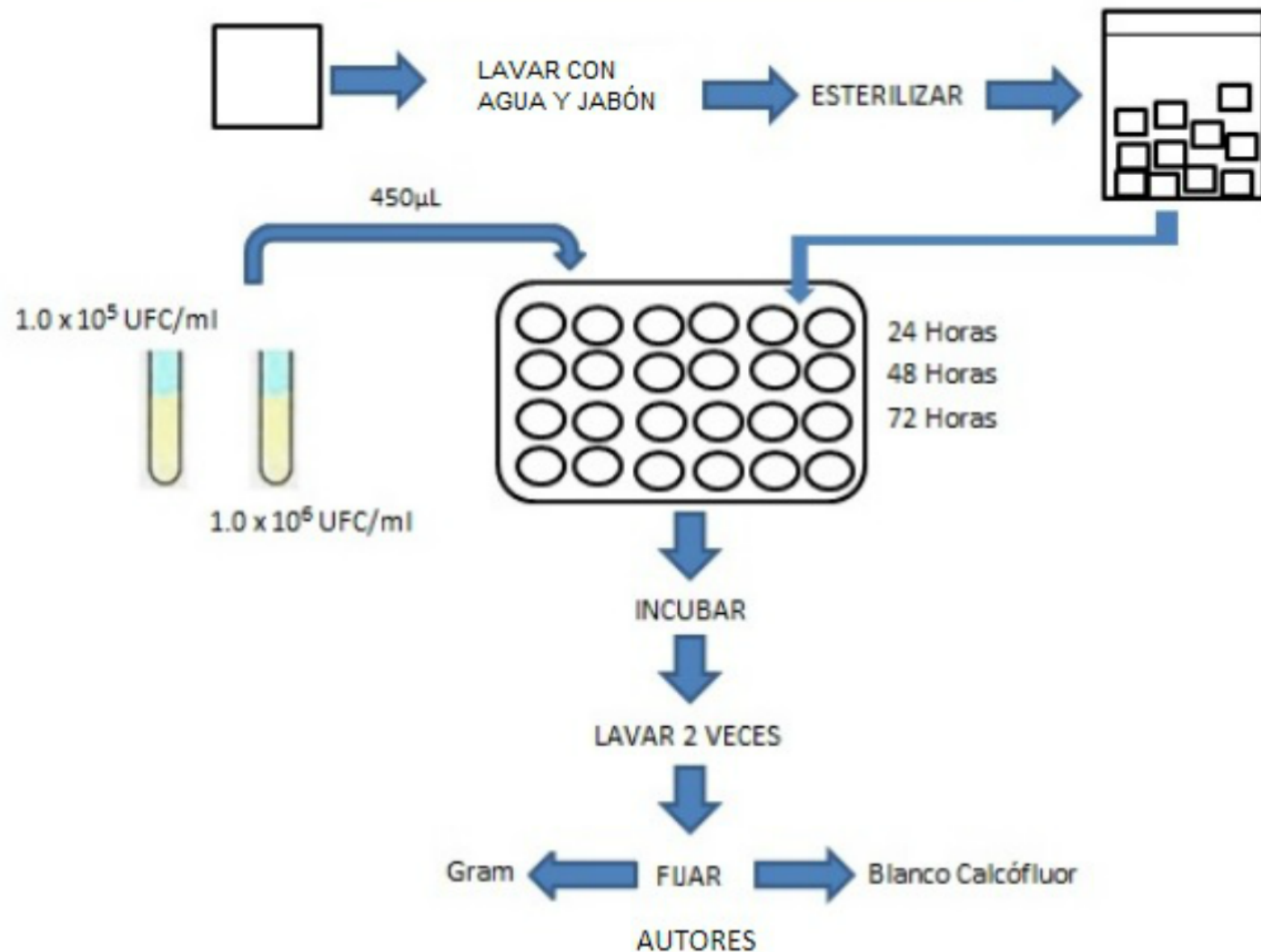
Microorganismo	Absorbancia a 360nm
<i>C. albicans</i> (4)	0.164
<i>C. guillermondii</i> (31)	0.158
<i>C. tropicalis</i> (46)	0.174
<i>C. auris</i> (51)	0.067

Monteiro y Col. Candida son fuertes productoras de biofilm

Hassan y col. 64.7% de Candida spp productores fuertes de biofilm y 36.3% formadores débiles de biofilm.

3. FORMACIÓN DE BIOFILM EN ACRILICOS

Figura 7: Protocolo Formación de Biofim



FORMACIÓN DE BIOFILM EN ACRILICOS

Figura 8: Determinación de concentración y tiempo para formación de biofilm de *Candida albicans*.

Candida albicans

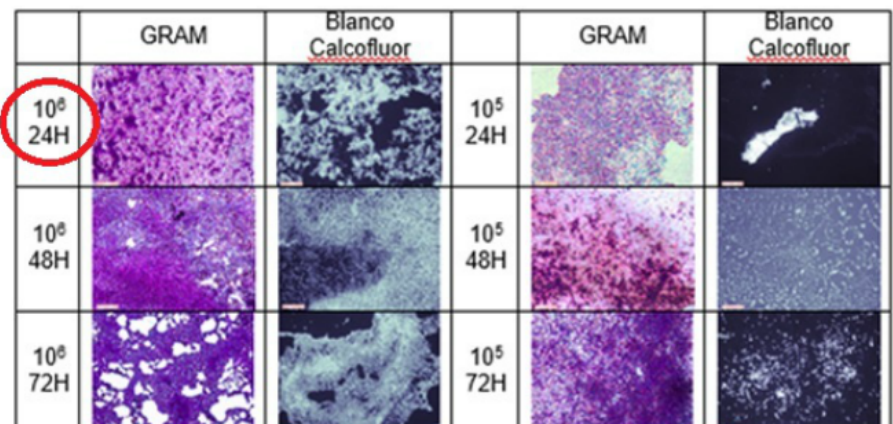
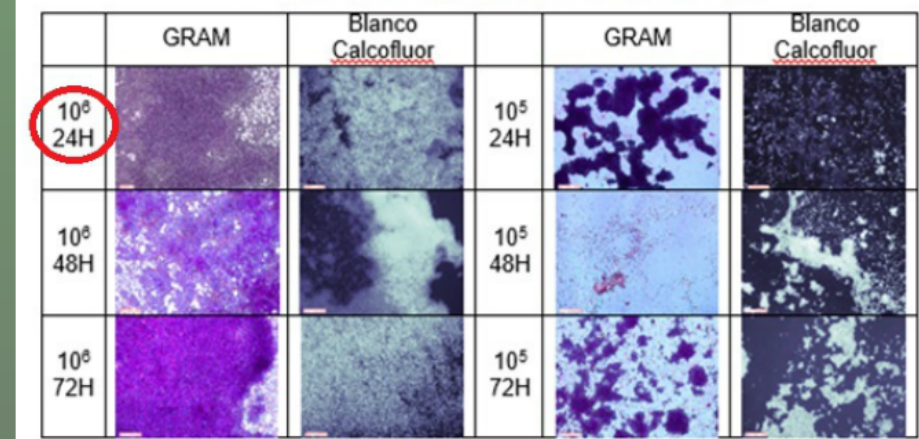


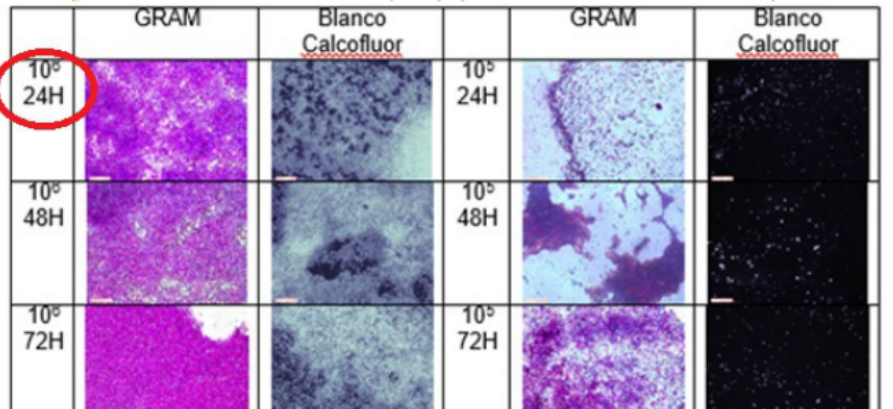
Figura 9: Determinación de concentración y tiempo para formación de biofilm de *Candida guillermondii*.

Candida guillermondii



Candida tropicalis

Figura 10: Determinación de concentración y tiempo para formación de biofilm de *Candida tropicalis*.



Aggarwal y Col.

Candida auris

Figura 11: Determinación de concentración y tiempo para formación de biofilm de *Candida auris*.

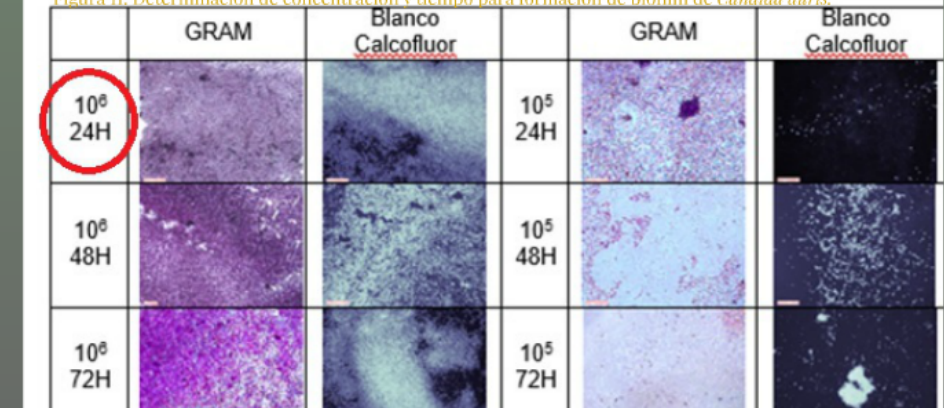


Figura 8: Determinación de concentración y tiempo para formación de biofilm de *Candida albicans*.

Candida albicans

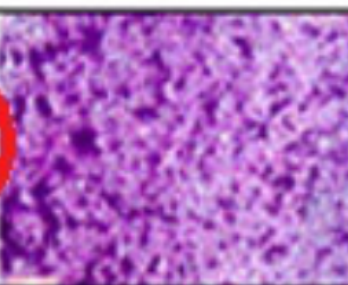
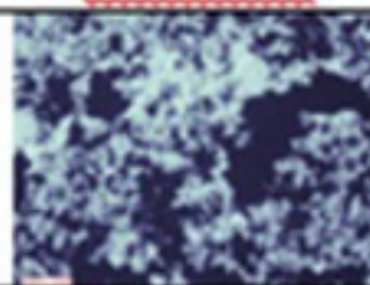
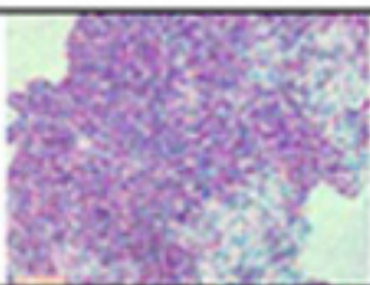
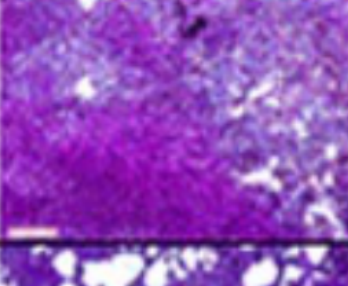
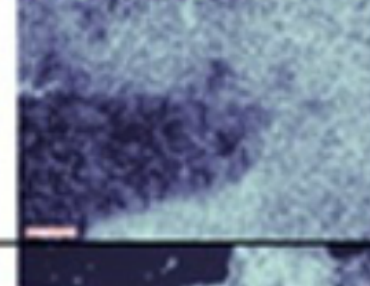
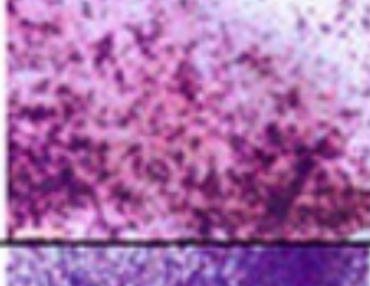
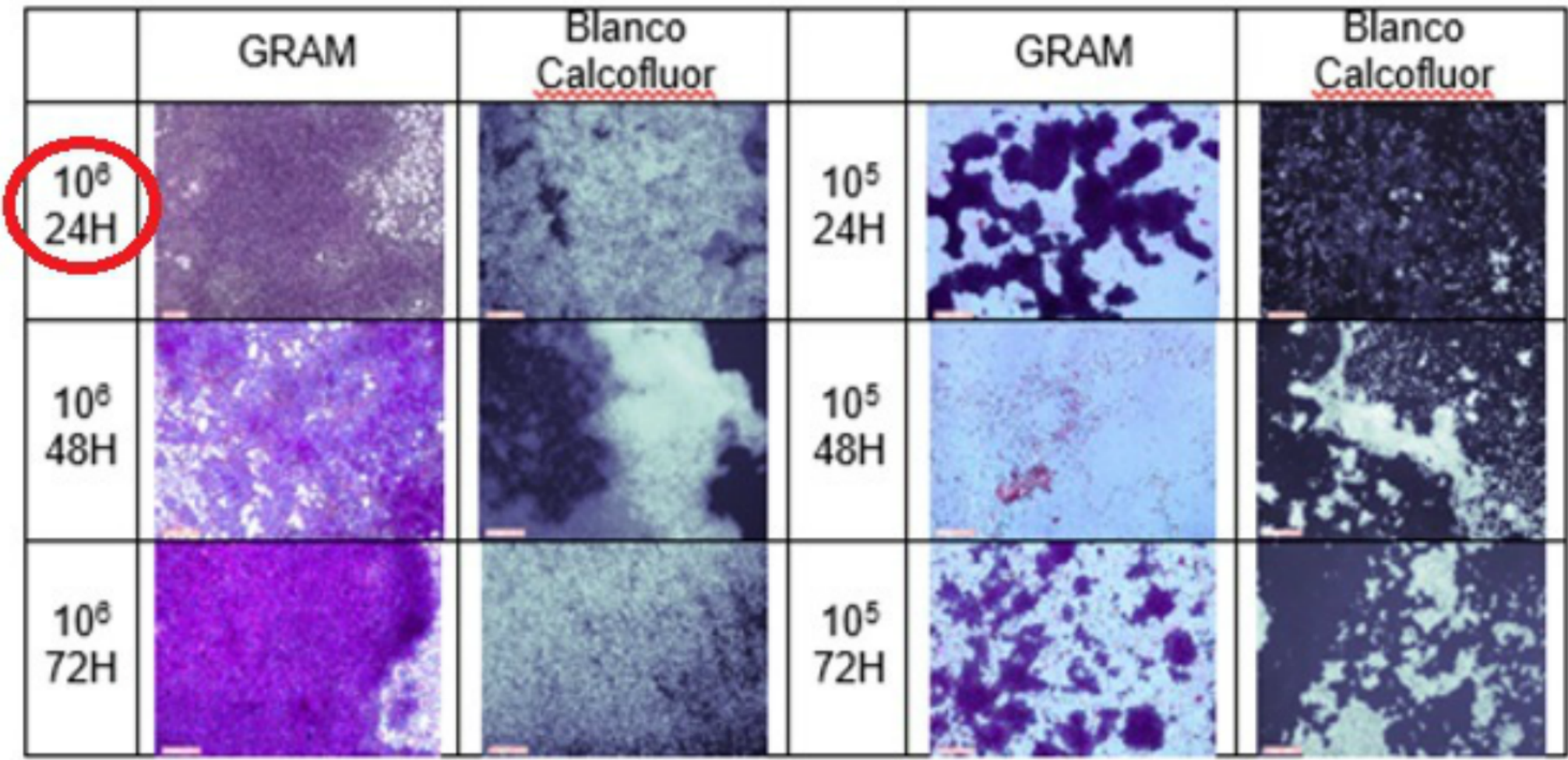
	GRAM	Blanco Calcofluor		GRAM	Blanco Calcofluor
10^6 24H				10^5 24H	
10^6 48H				10^5 48H	
10^6 72H				10^5 72H	

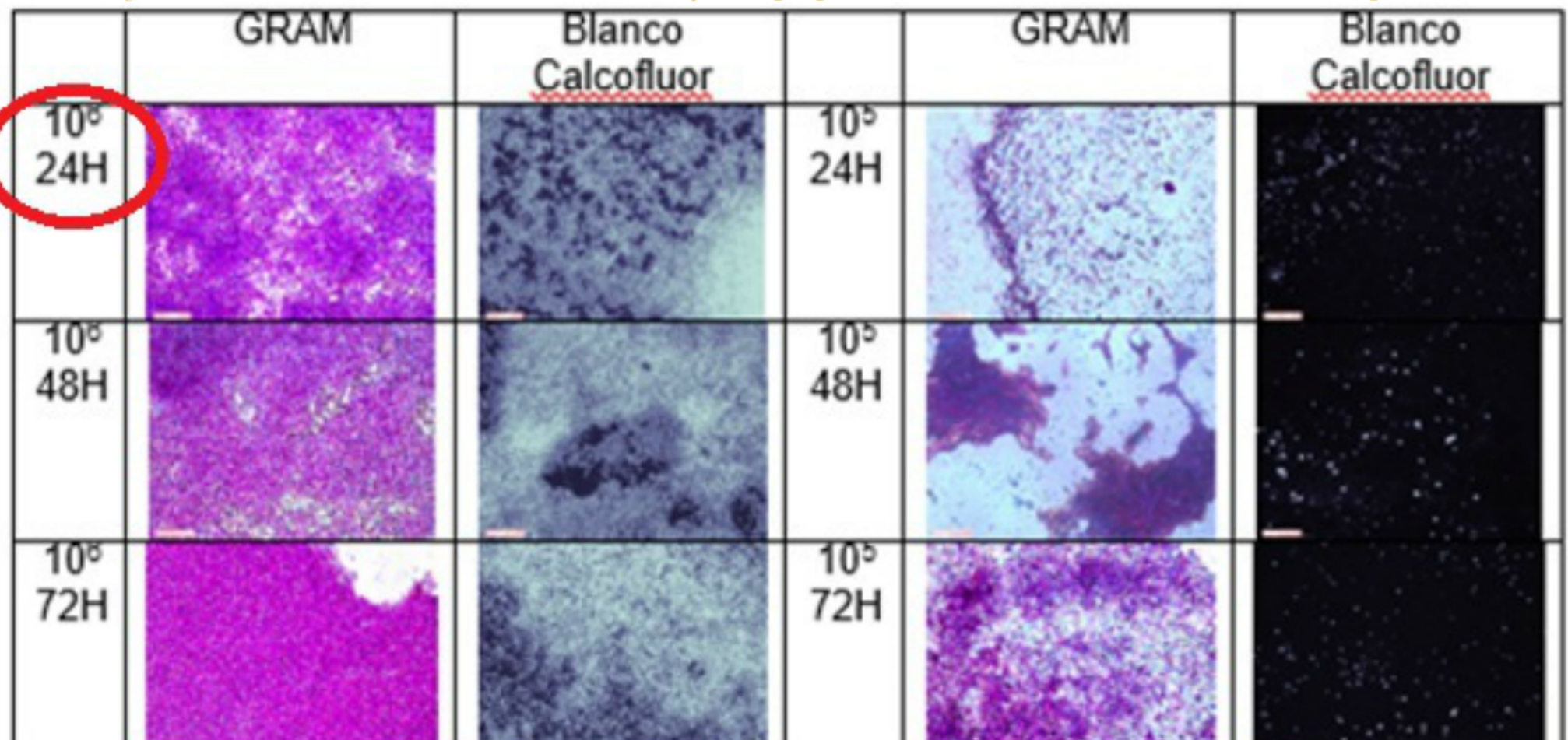
Figura 9: Determinación de concentración y tiempo para formación de biofilm de *Candida guillermondii*.

Candida guillermondii



Candida tropicalis

Figura 10: Determinación de concentración y tiempo para formación de biofilm de *Candida tropicalis*.





Aggarwal y Col.

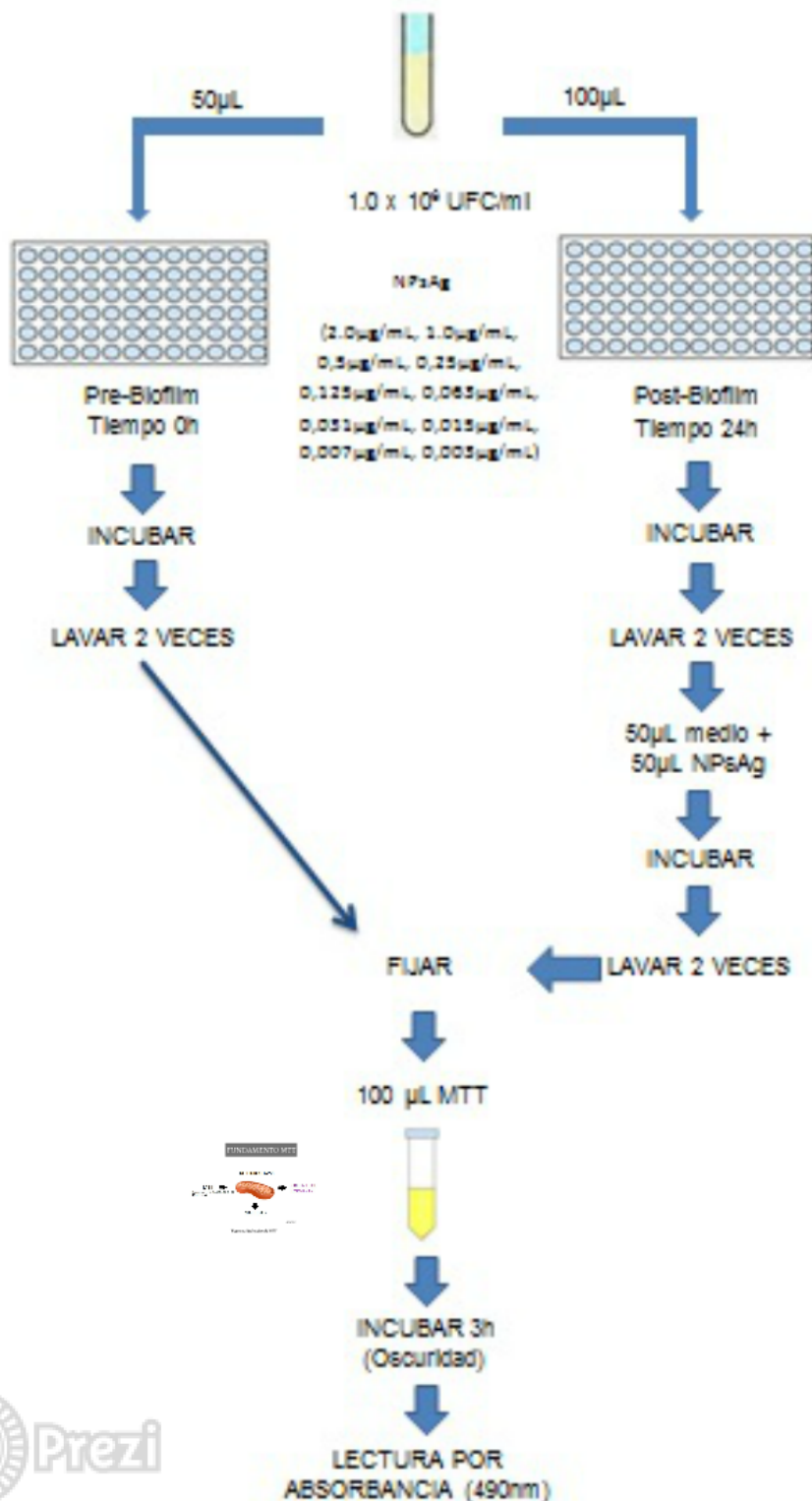
Candida auris

Figura 11: Determinación de concentración y tiempo para formación de biofilm de *Candida auris*.

	GRAM	Blanco Calcofluor		GRAM	Blanco Calcofluor
10^6 24H				10^5 24H	
10^6 48H				10^5 48H	
10^6 72H				10^5 72H	



Figura 12: Protocolo determinación de CMI



4. Determinación de CMI

AUTORES

FUNDAMENTO MTT

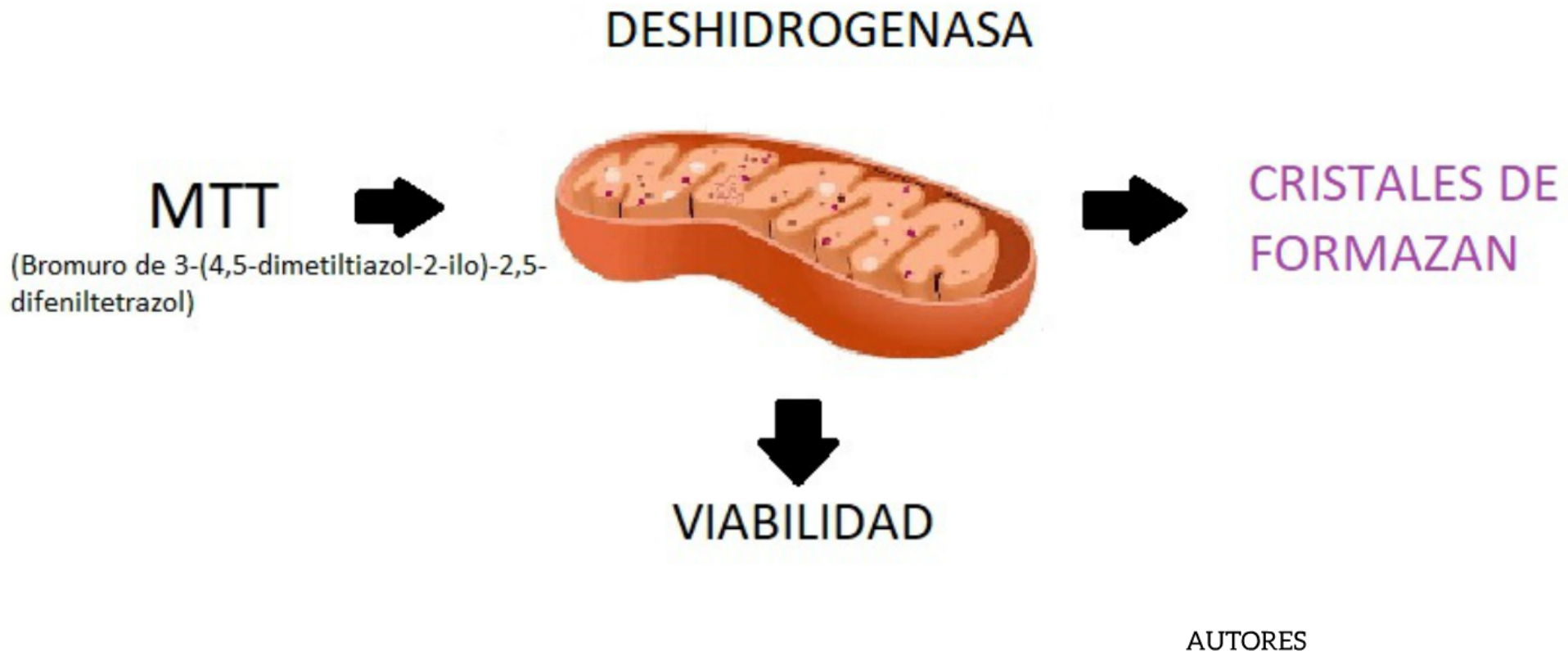
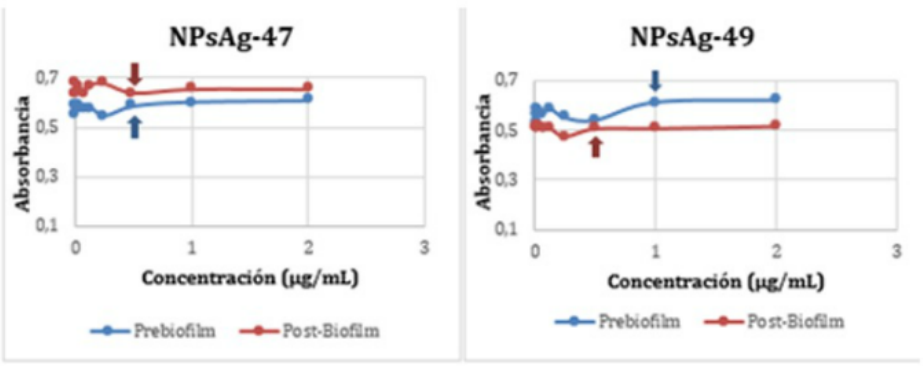


Figura 13: Reducción de MTT

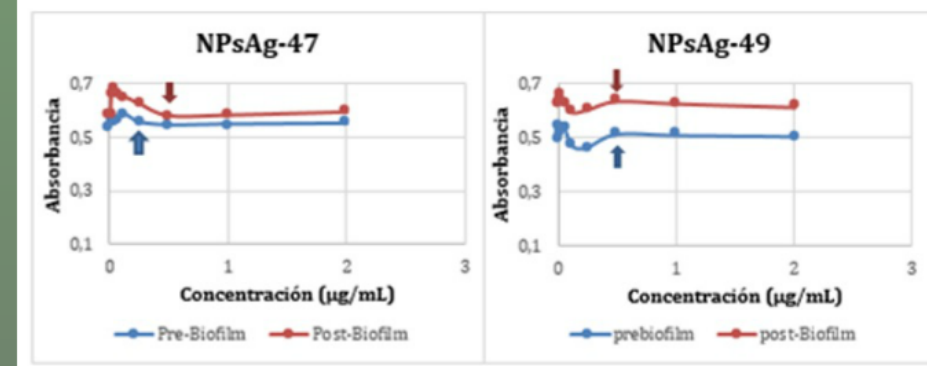
DETERMINACIÓN DE MIC NPsAg-47 Y NPsAg-49

Figura 14: Gráficos de dispersión para la determinación de CMI de las NPsAg-47 y NPsAg-49 para *Candida spp.*.

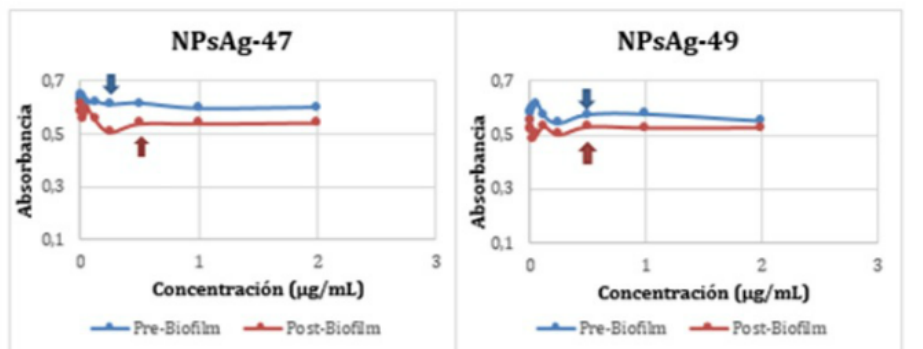
Candida albicans



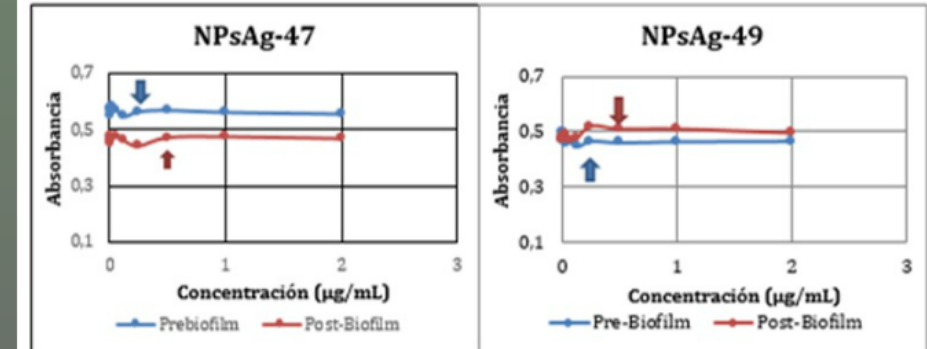
Candida guillermondii

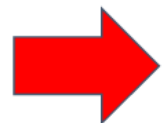


Candida tropicalis



Candida auris





MIC para NPsAg-47 y NPsAg-49

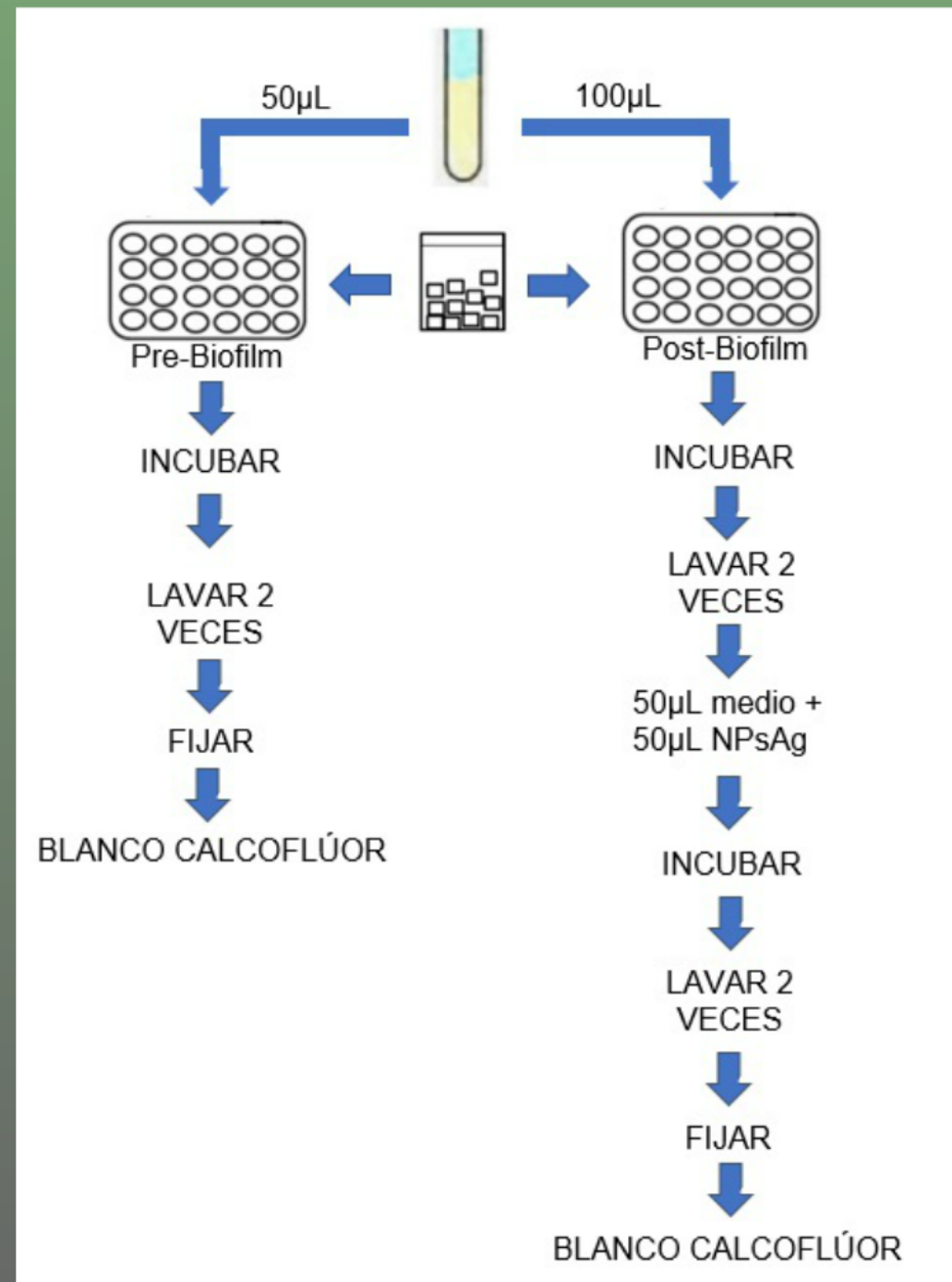
Microorganismos	NPsAg-47		NPsAg-49	
	Pre-biofilm	Post-biofilm	Pre-biofilm	Post-biofilm
<i>Candida albicans</i>	0,5 µg/mL	0,5 µg/mL	1,0 µg/mL	0,5 µg/mL
<i>Candida guillermondii</i>	0,25 µg/mL	0,5 µg/mL	0,5 µg/mL	0,5 µg/mL
<i>Candida tropicalis</i>	0,25 µg/mL	0,5 µg/mL	0,5 µg/mL	0,5 µg/mL
<i>Candida auris</i>	0,25 µg/mL	0,5 µg/mL	0,25 µg/mL	0,5 µg/mL

Tabla 3: Resultado de CMI para NPsAg.

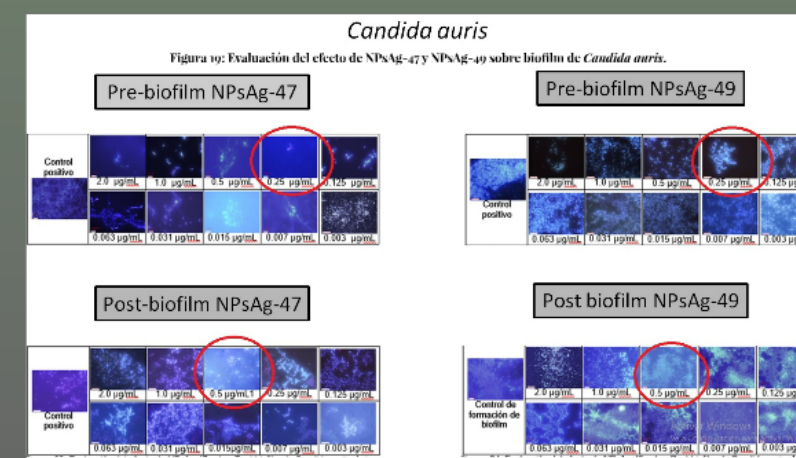
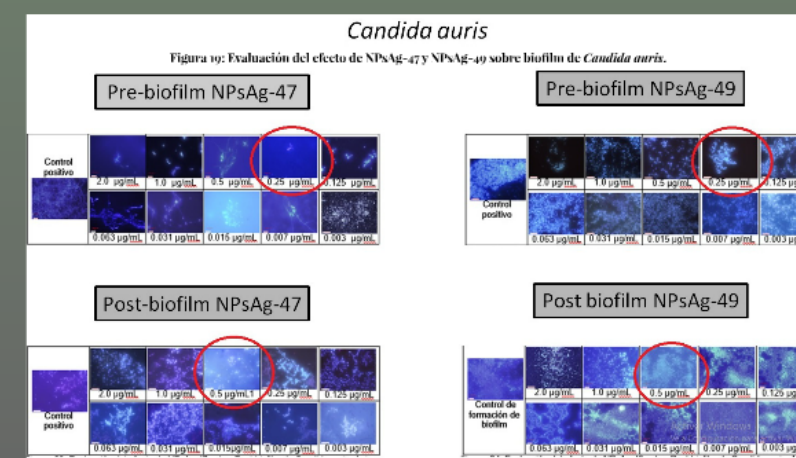
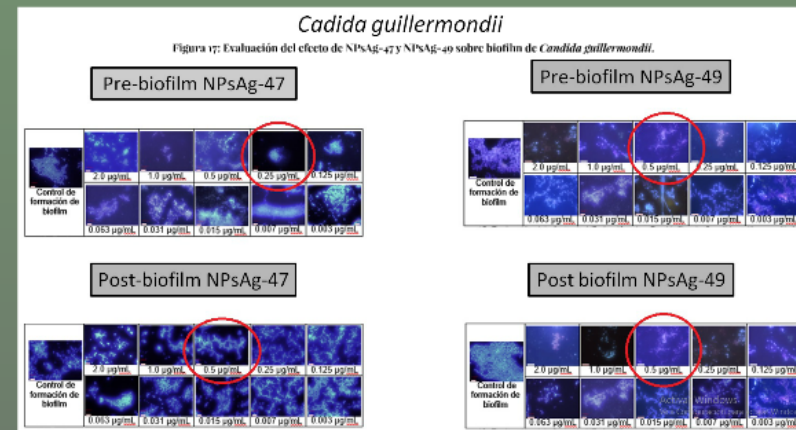
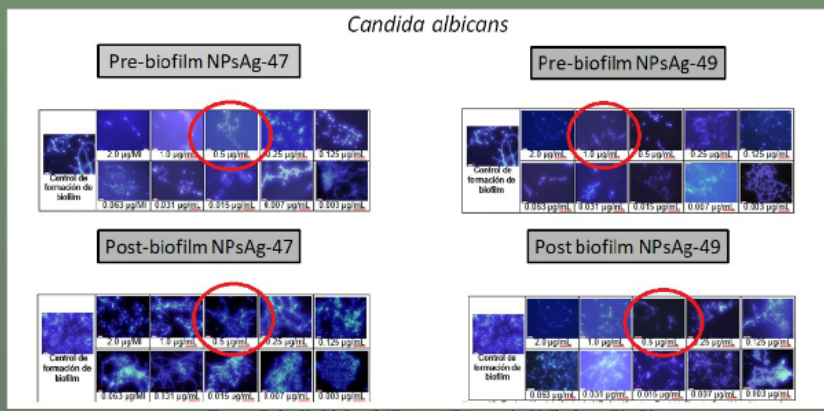
Wang y col. (MIC) de 2.0 mg/ml en *C. albicans*

5. EFECTO DE NPsAg SOBRE BIOFILM EVALUADO CON BLANCO DE CALCOFLÚOR

Figura 15: Evaluación efecto de NPsAg por BC



EFFECTO DE NPsAg SOBRE BIOFILM EVALUADO CON BLANCO DE CALCOFLÚOR



Candida albicans

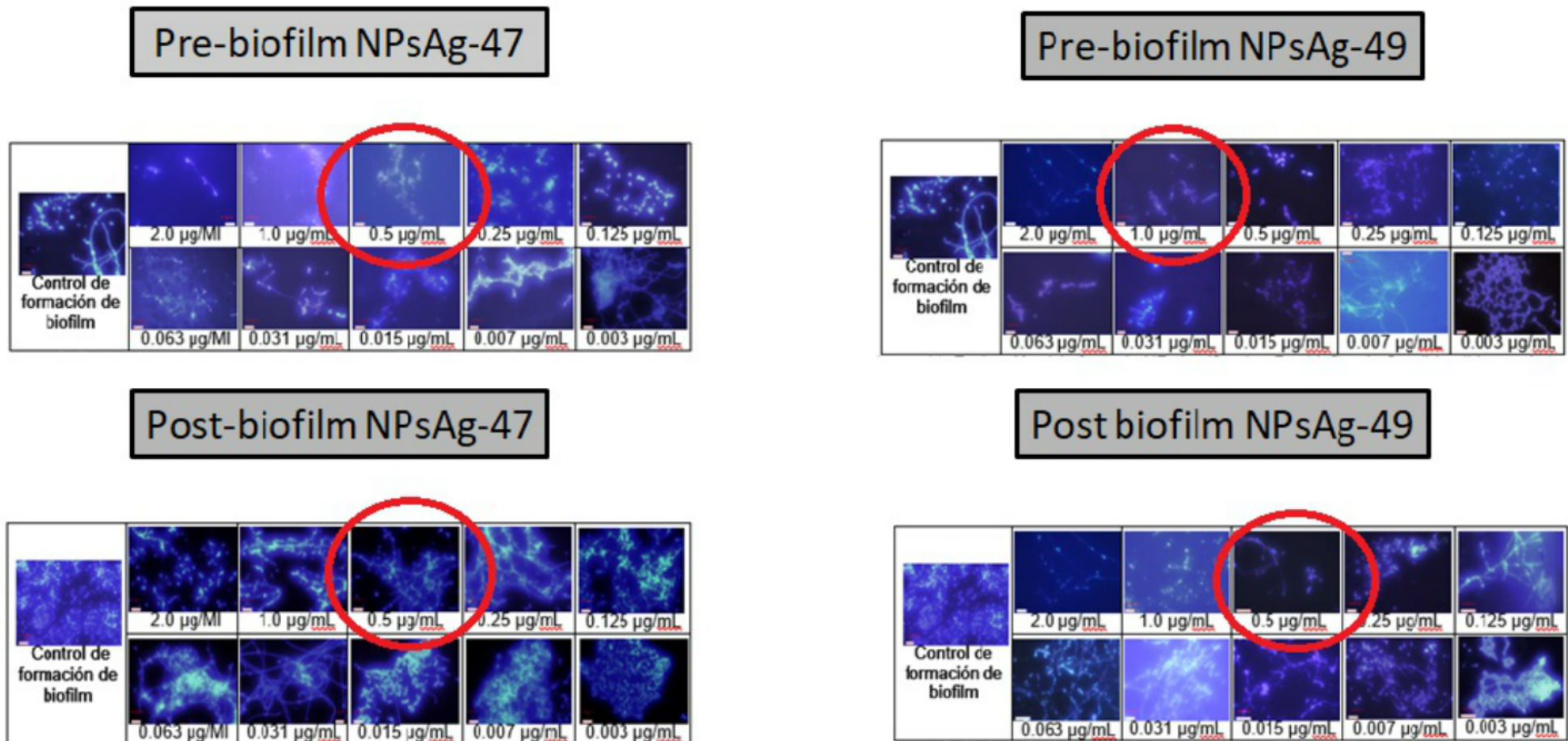


Figura 16: Evaluación del efecto de NPsAg-47 y NPsAg-49 sobre biofilm de *Candida albicans*.

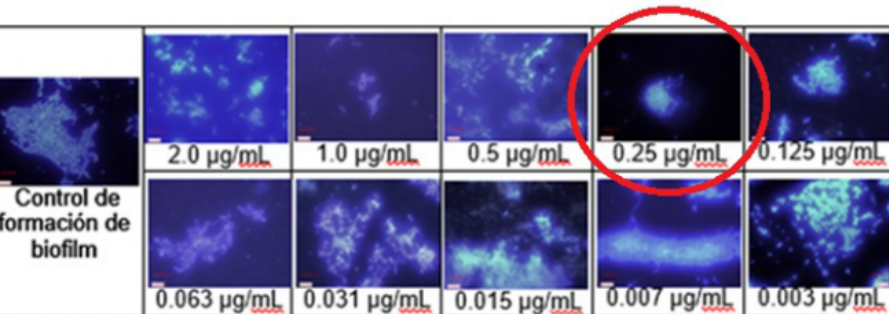
Candida tropicalis

Figura 18: Evaluación del efecto de NPsAg-47 y NPsAg-49 sobre biofilm de *Candida tropicalis*.

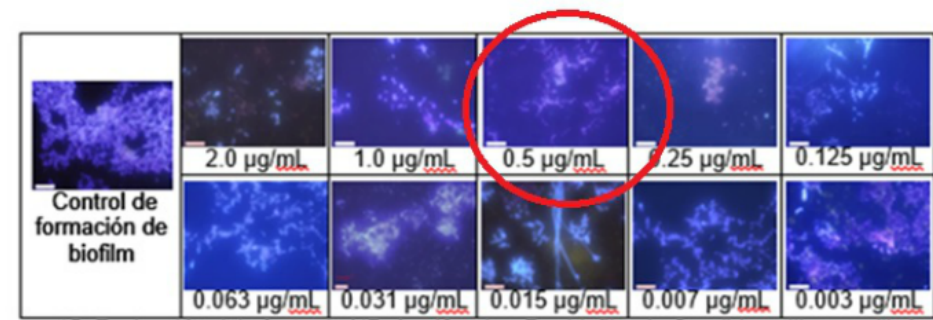
Candida guillermondii

Figura 17: Evaluación del efecto de NPsAg-47 y NPsAg-49 sobre biofilm de *Candida guillermondii*.

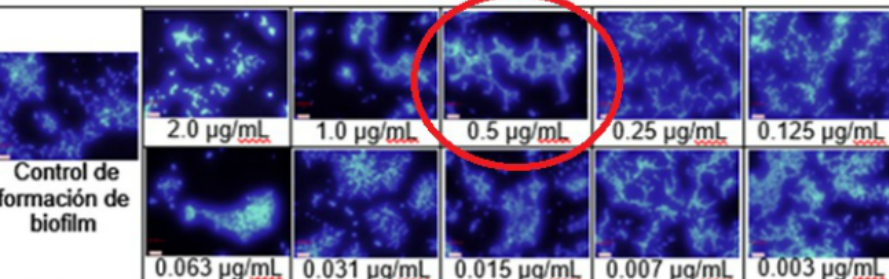
Pre-biofilm NPsAg-47



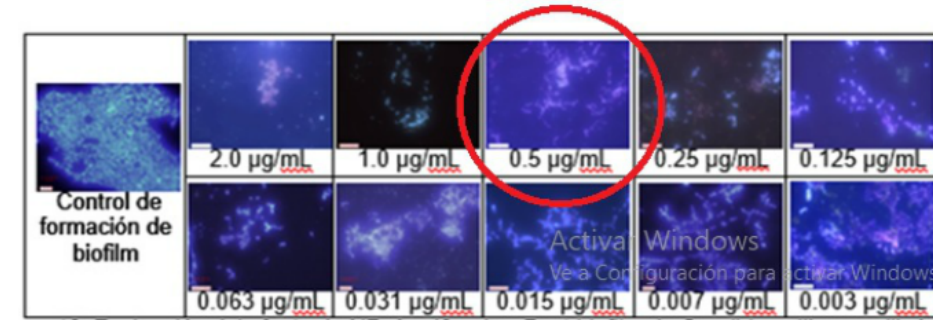
Pre-biofilm NPsAg-49



Post-biofilm NPsAg-47



Post biofilm NPsAg-49



biofilm



biofilm

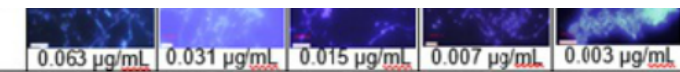
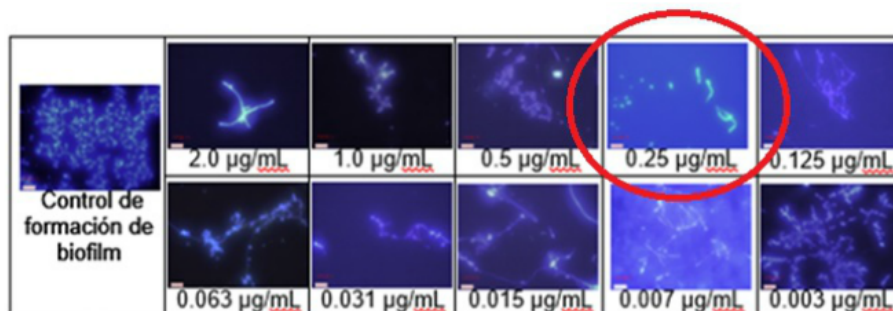


Figura 16: Evaluación del efecto de NPsAg-47 y NPsAg-49 sobre biofilm de *Candida albicans*.

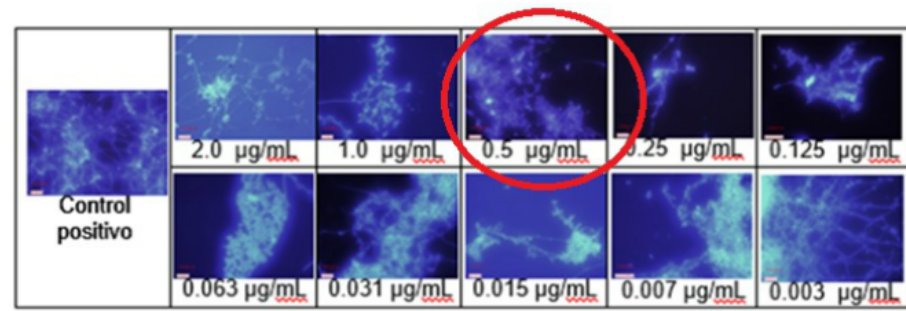
Candida tropicalis

Figura 18: Evaluación del efecto de NPsAg-47 y NPsAg-49 sobre biofilm de *Candida tropicalis*.

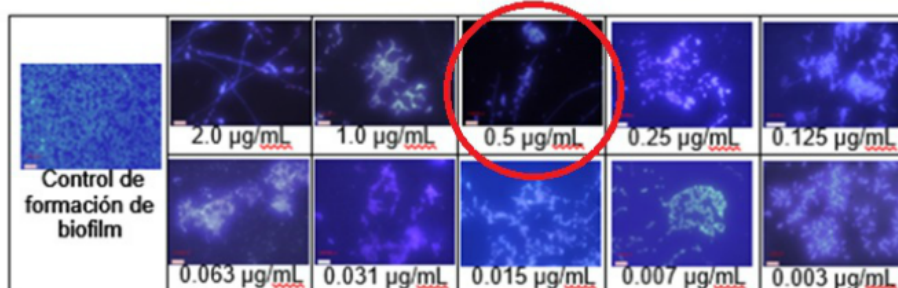
Pre-biofilm NPsAg-47



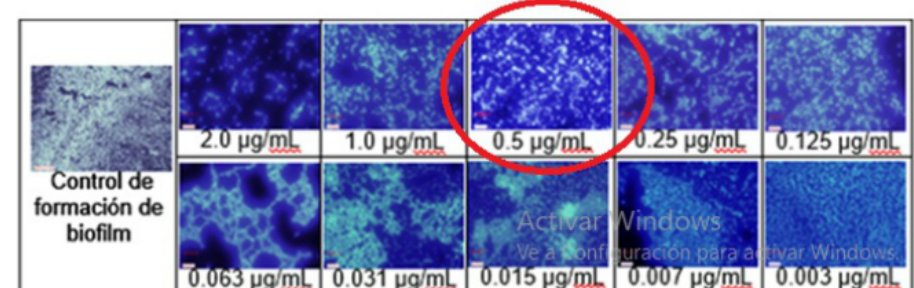
Pre-biofilm NPsAg-49



Post-biofilm NPsAg-47



Post biofilm NPsAg-49



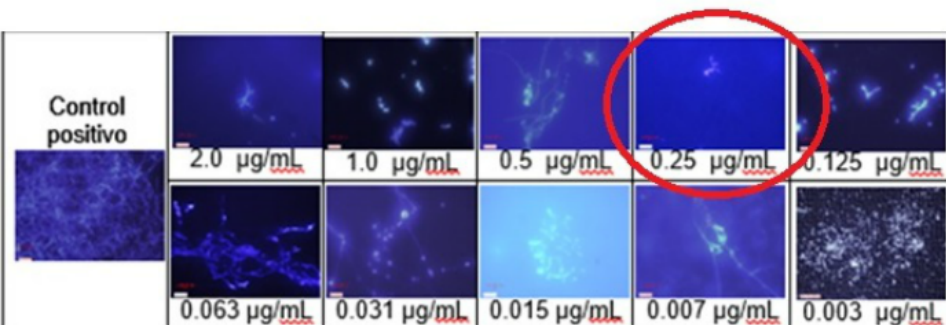
0.063 µg/mL 0.031 µg/mL 0.015 µg/mL 0.007 µg/mL 0.003 µg/mL

0.063 µg/mL 0.031 µg/mL 0.015 µg/mL 0.007 µg/mL 0.003 µg/mL

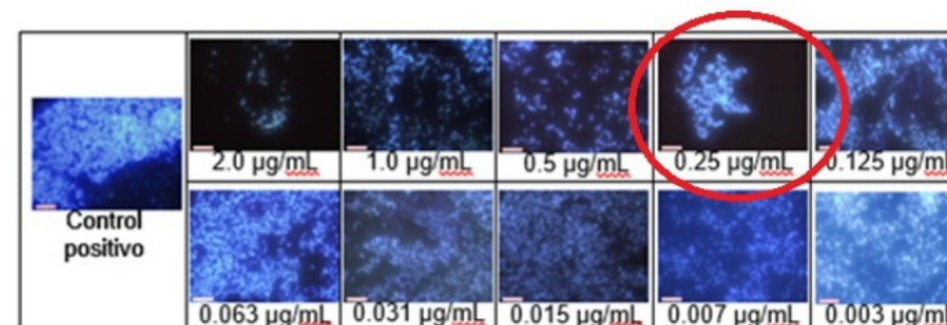
Candida auris

Figura 19: Evaluación del efecto de NPsAg-47 y NPsAg-49 sobre biofilm de *Candida auris*.

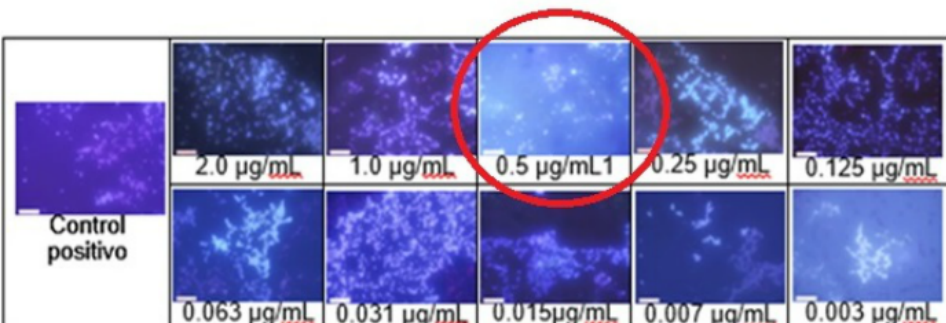
Pre-biofilm NPsAg-47



Pre-biofilm NPsAg-49



Post-biofilm NPsAg-47



Post biofilm NPsAg-49

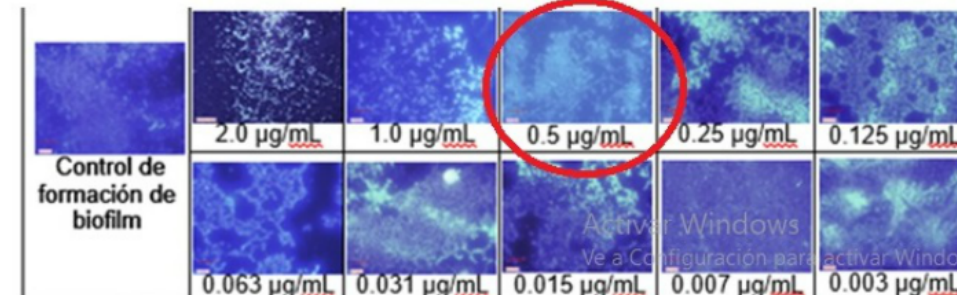


Figura 20: Evaluación del efecto NPsAg por SEM



6. EFECTO DE NPsAg SOBRE BIOFILM EVALUADO CON MICROSCOPIA ELECTRONICA DE BARRIDO SEM

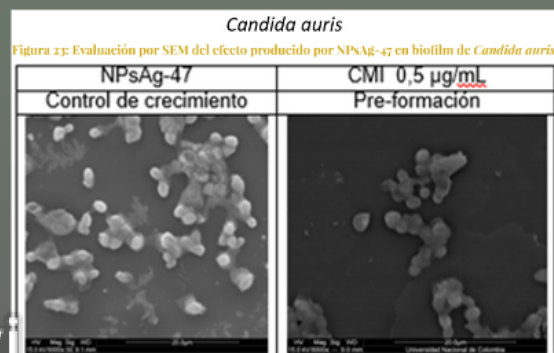
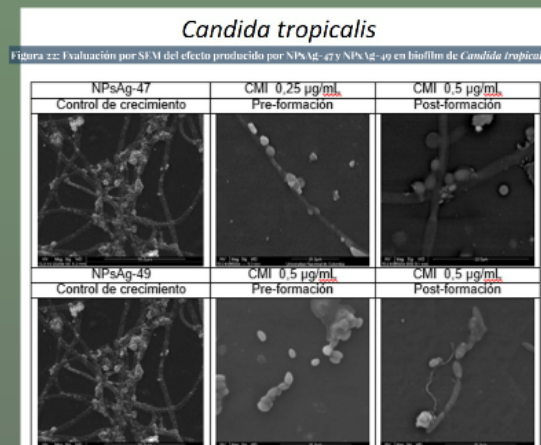
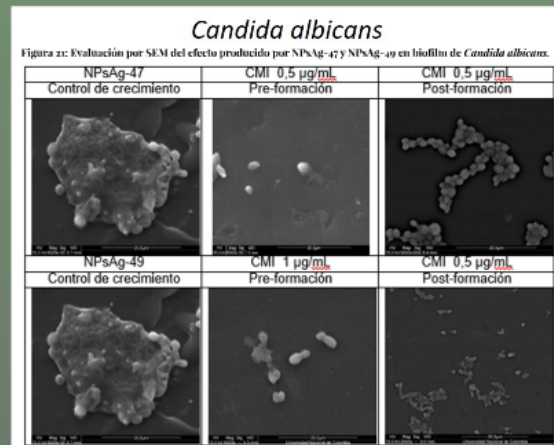
Universidad Nacional-
Laboratorio de Geología

AUTORES

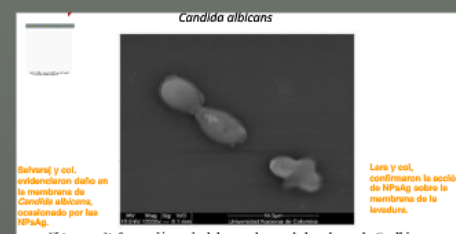


Prezi

EFECTO DE NPsAg SOBRE BIOFILM EVALUADO CON MICROSCOPIA ELECTRONICA DE BARRIDO (SEM)

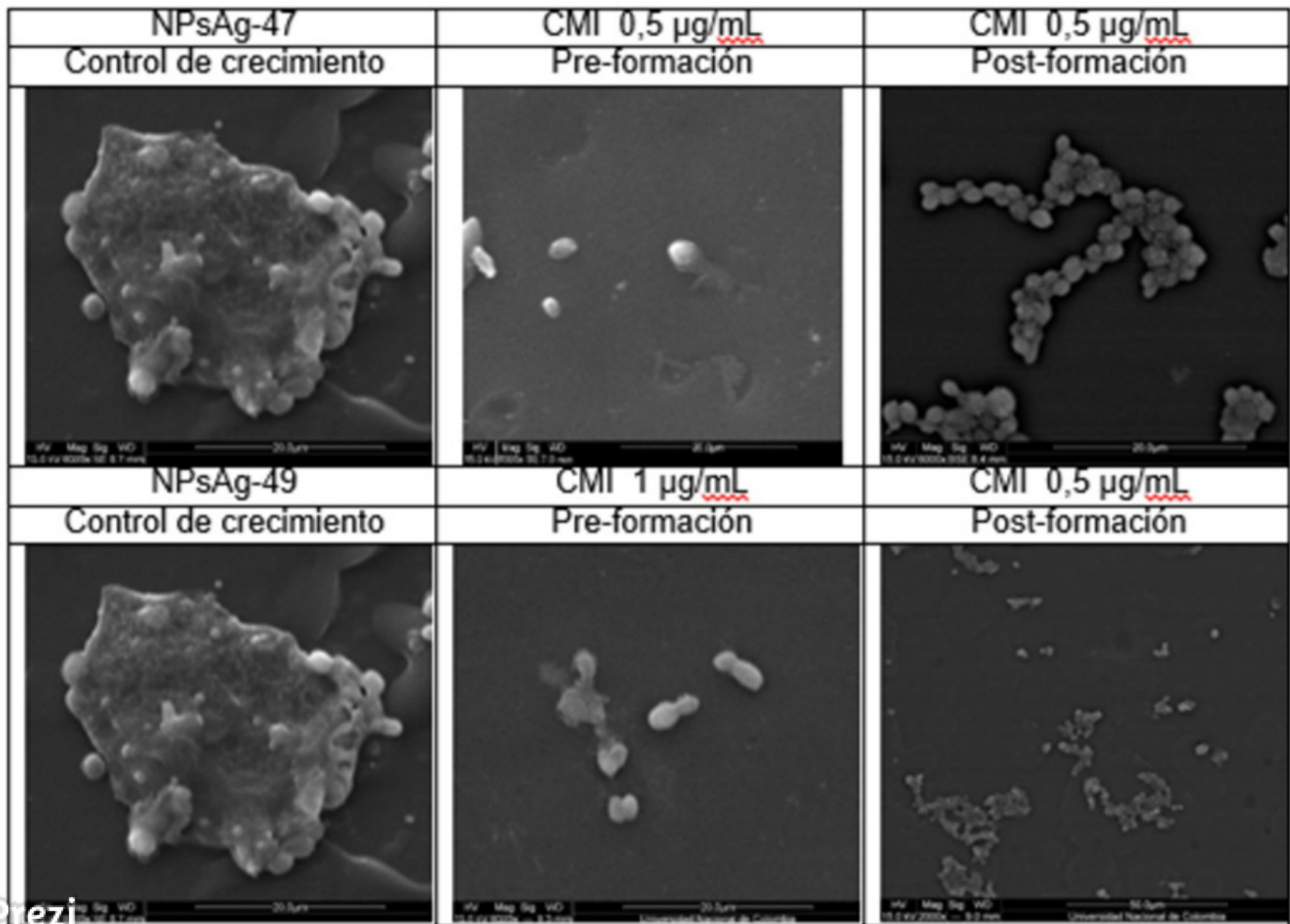


DAÑO A NIVEL DE MEMBRANA DE LEVADURAS



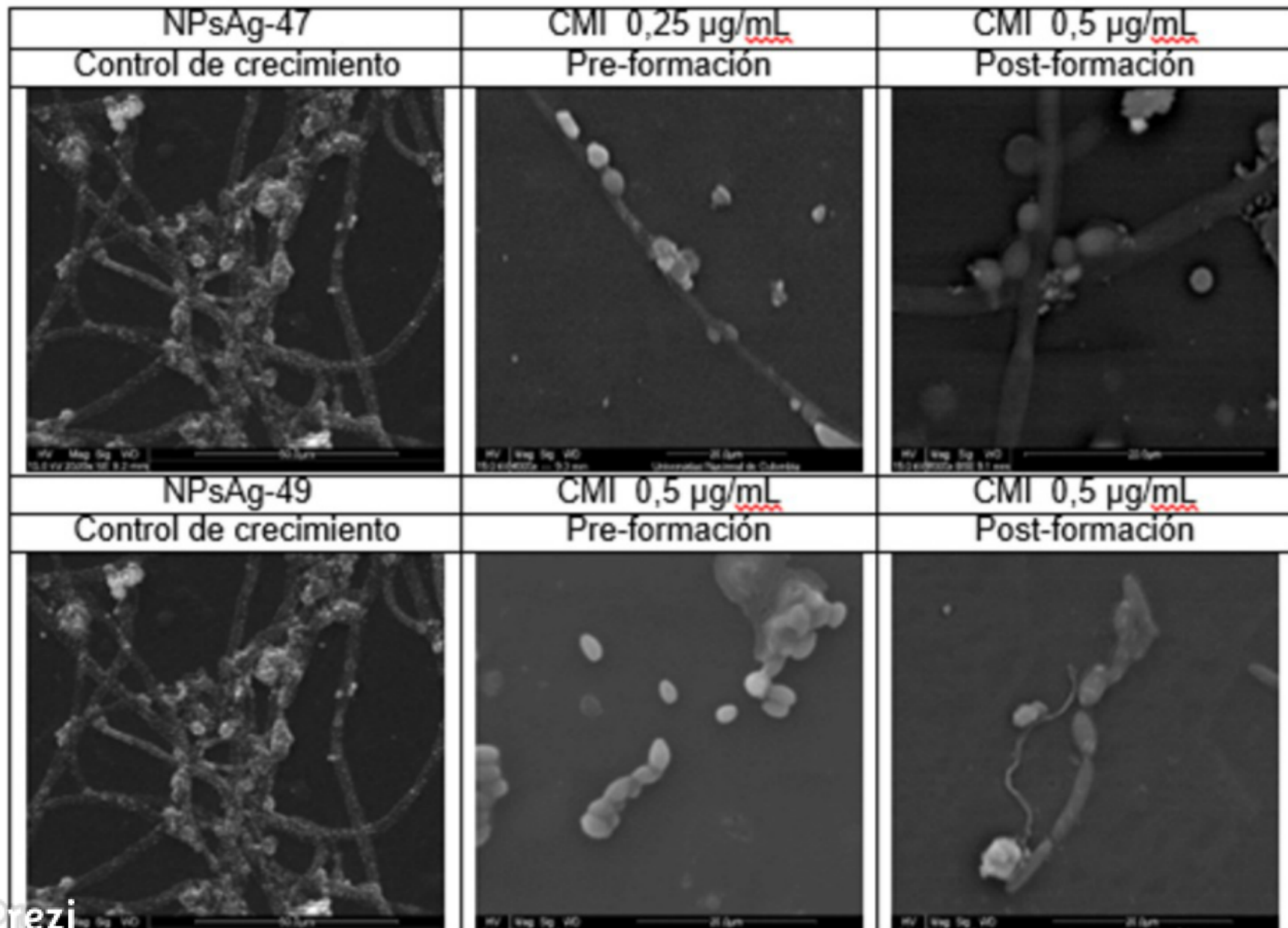
Candida albicans

Figura 21: Evaluación por SEM del efecto producido por NPsAg-47 y NPsAg-49 en biofilm de *Candida albicans*.



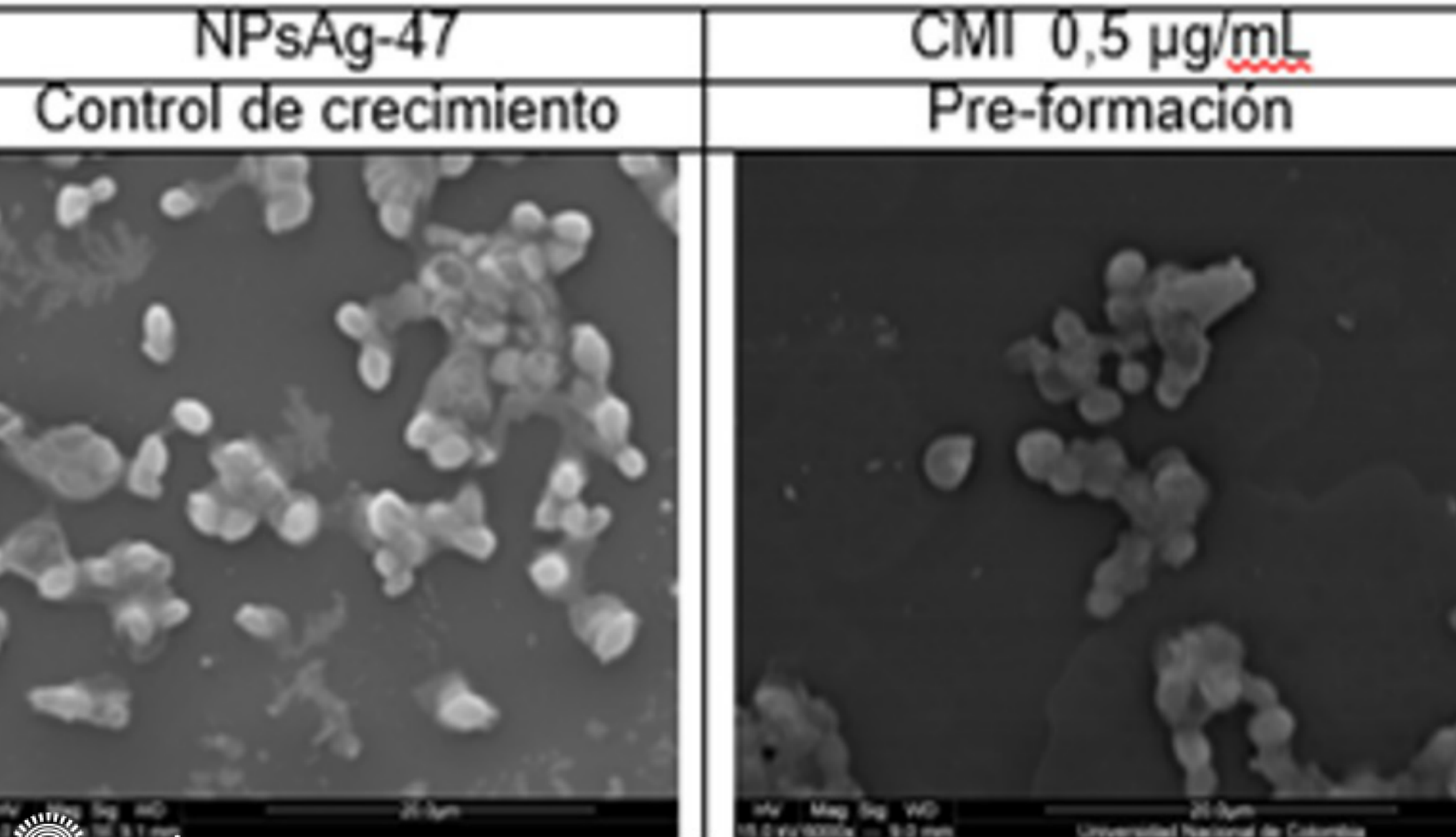
Candida tropicalis

Figura 22: Evaluación por SEM del efecto producido por NPsAg-47 y NPsAg-49 en biofilm de *Candida tropicalis*.



Candida auris

Figura 23: Evaluación por SEM del efecto producido por NPsAg-47 en biofilm de *Candida au*



SITIOS DE ACCIÓN NPsAg EN LEVADURAS

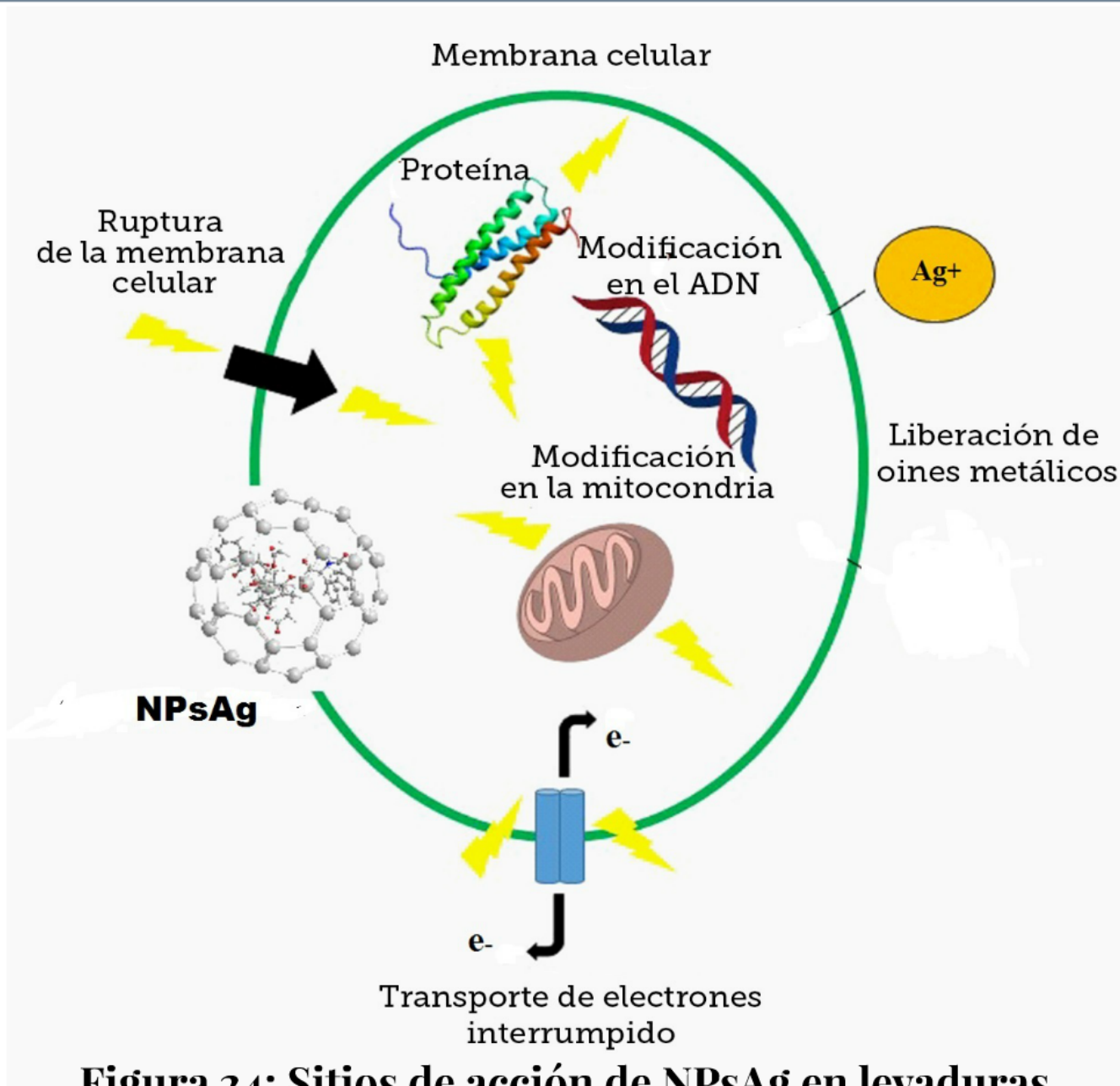
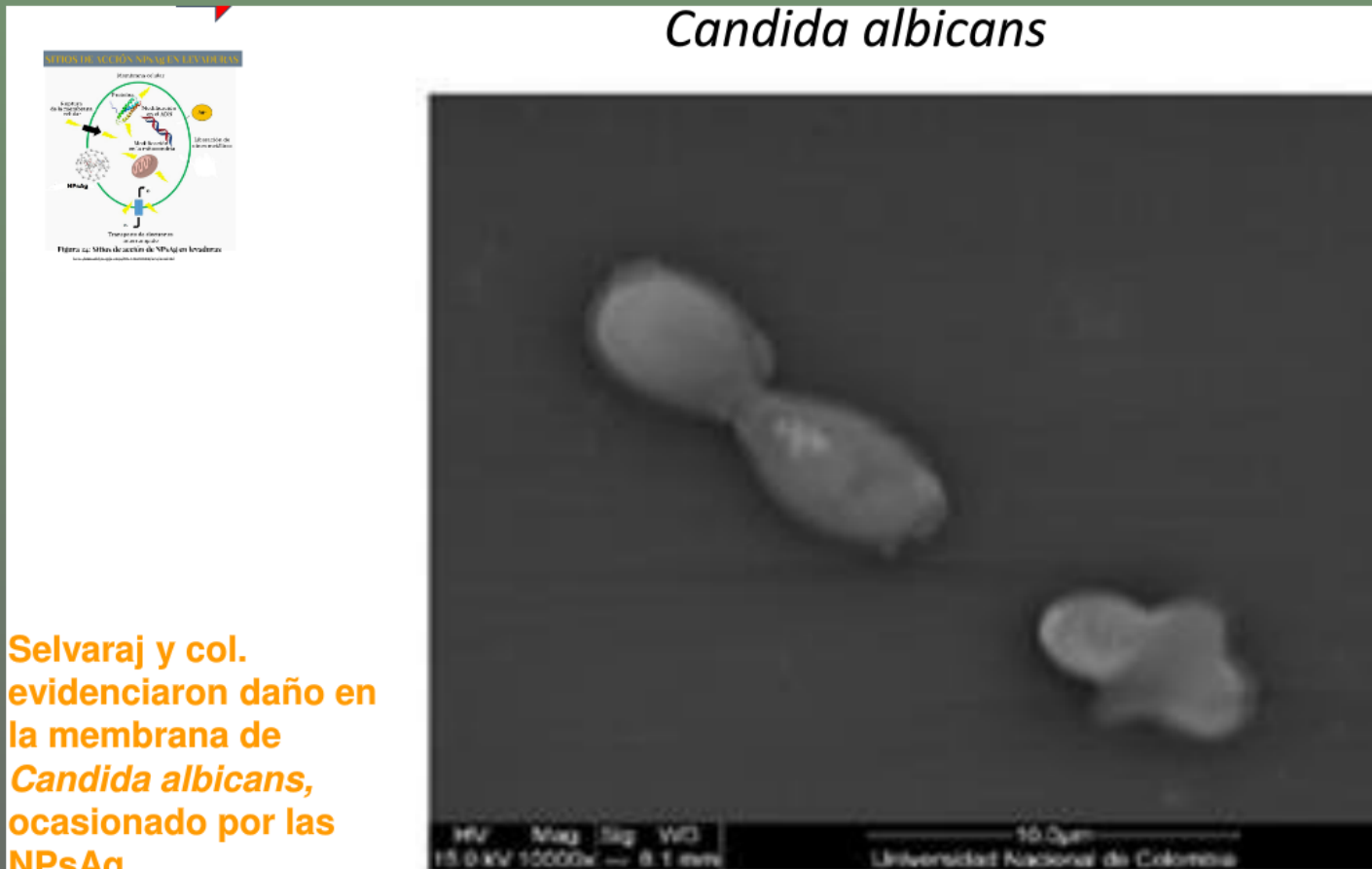


Figura 24: Sitos de acción de NPsAg en levaduras

DAÑO A NIVEL DE MEMBRANA DE LEVADURAS

Candida albicans



Selvaraj y col. evidenciaron daño en la membrana de *Candida albicans*, ocasionado por las NPsAg.

Lara y col. confirmaron la acción de NPsAg sobre la membrana de la levadura.

Figura 25: Deformación a nivel de membrana de levaduras de *C. albicans*.

CONCLUSIONES

- Las nanopartículas de plata inhiben in vitro la formación de biofilm por *C. albicans*, *C. guillermondii*, *C. tropicalis* y *C. auris*.
- Seleccionamos a la NPsAg-47 como la mejor alternativa para combatir el pre-biofilm de *Candida spp.* por ser eficiente en concentración de 0,25 μ g/ml.
- Las concentraciones mínimas inhibitorias para las NPsAg obtenidas en este ensayo fueron de 0,5 μ g/ml y 0,25 μ g/ml, lo que permite evidenciar que las concentraciones necesarias para lograr un efecto son bajas.
- Las NPsAg provocaron la reducción de la formación de biofilm y se evidencio mediante microscopía electrónica de barrido el daño en la membrana de las levaduras.

BIBLIOGRAFÍA

1. Pérez Y. A, Contreras S. AM, Zolezzi R. P, Cruz P. C, Fierro A. C, Faúndez V. C, et al. Infección por hongos en catéteres venosos centrales. Revista chilena de pediatría. 2002;73:489-94.
2. Seidler M, Salvenmoser S, Muller FM. Liposomal amphotericin B eradicates *Candida albicans* biofilm in a continuous catheter flow model. FEMS Yeast Res. England2010. p. 492-5.
3. Sardi JC, Scorzoni L, Bernardi T, Fusco-Almeida AM, Mendes Giannini MJ. *Candida* species: current epidemiology, pathogenicity, biofilm formation, natural antifungal products and new therapeutic options. J Med Microbiol. England2013. p. 10-24.
4. Vazquez-Munoz R, Avalos-Borja M, Castro-Longoria E. Ultrastructural analysis of *Candida albicans* when exposed to silver nanoparticles. PLoS One. 2014;9(10):e108876.
5. Motoa G, Munoz JS, Oñate J, Pallares CJ, Hernandez C, Villegas MV. Epidemiology of *Candida* isolates from Intensive Care Units in Colombia from 2010 to 2013. Rev Iberoam Micol. 2017;34(1):17-22. Epub 2016/11/05.
6. Barahona-Correa J, Calvo-Valderrama M, Romero-Alvernia D, Angulo-Mora J, Alarcón-Figueroa L, Rodríguez-Malagón M, et al. Epidemiology of Candidemia at a University Hospital in Colombia 2008-2014. Universitas Medica. 2019;60(1):1-9.
7. INS INDS. Boletín Epidemiológico Semanal. Semana epidemiológica 31. 2019. p. 31.
8. NCBI.Taxonomy *Candida* [available from: <https://www.ncbi.nlm.nih.gov/Taxonomy/Browser/wwwtax.cgi?id=1535326>
9. Selvaraj M, Pandurangan P, Ramasami N, Rajendran SB, Sangilimuthu SN, Perumal P. Highly potential antifungal activity of quantum-sized silver nanoparticles against *Candida albicans*. Appl Biochem Biotechnol. 2014;173(1):55-66. Epub 2014/03/22.
10. Lara HH, Romero-Urbina DG, Pierce C, Lopez-Ribot JL, Arellano-Jimenez MJ, Jose-Yacaman M. Effect of silver nanoparticles on *Candida albicans* biofilms: an ultrastructural study. Journal of nanobiotechnology. 2015;13:91

AGRADECIMIENTOS

- A la Dra. Marcela Gómez por la dirección, acompañamiento y paciencia en todo nuestro proceso de aprendizaje en nuestro trabajo de grado.
- A la Profesora Jovanna Acero por su asesoría.
- A la Universidad Colegio Mayor de Cundinamarca por nuestra formación profesional.
- A la Fundación Universitaria de las Ciencias de la Salud por el financiamiento y locación.
- A nuestras familias por el apoyo incondicional y el amor brindado

